

Transformateurs de séparation des circuits - protégés

Transformateurs de séparation des circuits pour locaux hospitaliers - protégés

Caractéristiques

Tensions d'isolement :

- entre enroulements : 4500 V
- entre primaire et masse : 2250 V
- entre secondaire et masse : 1800 V pour 230 V
2240 V pour 400 V

Monophasés

- Classe II jusqu'à 1000 VA
- Classe I à partir de 1600 VA
- Isolant classe B température ambiante : 25 °C
- IP 55 - IK 07 jusqu'à 1000 VA (surmoulé)
- IP 21 - IK 08 de 1600 VA à 25 kVA (sous cuve)

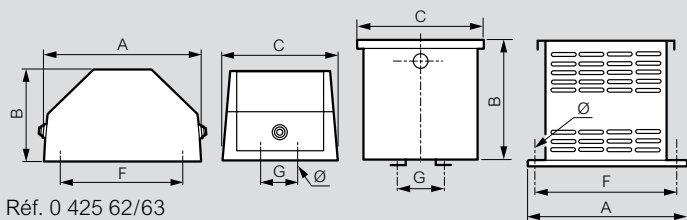
Tension secondaire par couplage série parallèle : livrés avec barrettes de couplage

Triphasés

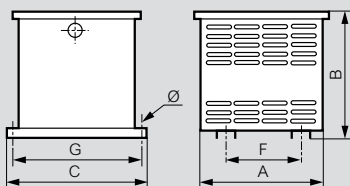
- Classe I
- Isolant : classe B jusqu'à 1000 VA température ambiante 25 °C
- classe H à partir de 1600 VA température ambiante 25 °C
- IP 21 - IK 08 (sous cuve)
- Indice horaire : Dyn 11

Réf. 0 425 10 à 16

Réf. 0 425 17/18, 0 425 55 à 61
0 425 40 à 44 et 0 428 20 à 24



Réf. 0 425 62/63



230-400 V / 115-230 V (monophasés)

| Réf. | Pertes à vide (W) | Chute de tension (%) | | Rendement | | Ucc (%) | Dimensions (mm) | | | Fixation (mm) | | | Poids (kg) |
|----------|-------------------|----------------------|------------|-----------|------------|---------|-----------------|-----|-----|---------------|-----|----|------------|
| | | cos φ 1 | cos φ 0,45 | cos φ 1 | cos φ 0,45 | | A | B | C | F | G | Ø | |
| 0 425 10 | 9,6 | 13,4 | 6,2 | 0,77 | 0,6 | 11 | 182 | 92 | 112 | 143 | - | 6 | 3,5 |
| 0 425 11 | 10,4 | 11,9 | 5,4 | 0,88 | 0,77 | 12 | 192 | 92 | 112 | 158 | - | 6 | 4,3 |
| 0 425 12 | 16,2 | 7,1 | 3,7 | 0,83 | 0,69 | 6 | 207 | 100 | 122 | 167 | - | 6 | 6,3 |
| 0 425 13 | 15,7 | 8,5 | 4 | 0,88 | 0,77 | 8 | 215 | 100 | 122 | 175 | - | 6 | 6,7 |
| 0 425 14 | 27,3 | 6,3 | 3,5 | 0,87 | 0,75 | 5 | 245 | 130 | 156 | 203 | 50 | 6 | 11,5 |
| 0 425 15 | 30,9 | 4,7 | 3,2 | 0,9 | 0,8 | 4 | 270 | 150 | 190 | 227 | 50 | 6 | 18,6 |
| 0 425 16 | 30,9 | 2,2 | 1,8 | 0,93 | 0,86 | 2 | 270 | 150 | 190 | 227 | 50 | 6 | 18,7 |
| 0 425 17 | 60,2 | 1,8 | 1,8 | 0,95 | 0,9 | 2 | 250 | 270 | 253 | 230 | 140 | 7 | 25 |
| 0 425 18 | 88,8 | 1,7 | 2 | 0,95 | 0,9 | 2 | 320 | 330 | 253 | 300 | 111 | 9 | 33 |
| 0 425 55 | 95 | 1,7 | 2,1 | 0,94 | 0,9 | 1,9 | 340 | 410 | 320 | 320 | 130 | 9 | 49 |
| 0 425 56 | 145 | 4,3 | 2,2 | 0,93 | 0,8 | 3,4 | 340 | 410 | 320 | 320 | 180 | 9 | 50 |
| 0 425 57 | 145 | 5 | 2,4 | 0,94 | 0,9 | 4,7 | 340 | 410 | 320 | 320 | 180 | 9 | 65,5 |
| 0 425 58 | 160 | 3,9 | 2 | 0,95 | 0,9 | 3,8 | 390 | 460 | 380 | 370 | 150 | 9 | 78,5 |
| 0 425 59 | 255 | 5 | 2,75 | 0,95 | 0,9 | 3,8 | 460 | 640 | 390 | 430 | 161 | 11 | 102 |
| 0 425 60 | 255 | 4,8 | 2,85 | 0,95 | 0,9 | 3,7 | 460 | 640 | 390 | 430 | 161 | 11 | 102 |
| 0 425 61 | 255 | 4,3 | 2,9 | 0,96 | 0,91 | 2,6 | 460 | 640 | 390 | 430 | 161 | 11 | 102 |
| 0 425 62 | 411 | 4,7 | 2,8 | 0,95 | 0,9 | 5,4 | 435 | 705 | 482 | 260 | 457 | 15 | 140 |
| 0 425 63 | 411 | 4 | 2,7 | 0,96 | 0,91 | 4,5 | 435 | 705 | 482 | 260 | 457 | 15 | 148 |

400 V Δ / 230 V Y + N (triphasés)

| Réf. | Pertes à vide (W) | Chute de tension (%) cos φ 0,8 | Rendement cos φ 0,8 | Ucc (%) | Dimensions (mm) | | | Fixation (mm) | | | Poids (kg) |
|----------|-------------------|--------------------------------|---------------------|---------|-----------------|-----|-----|---------------|-----|---|------------|
| | | | | | A | B | C | F | G | Ø | |
| 0 425 40 | 37 | 2,4 | 0,91 | 2 | 240 | 270 | 190 | 220 | 90 | 7 | 12 |
| 0 425 41 | 45 | 2,3 | 0,93 | 2 | 370 | 330 | 190 | 350 | 69 | 9 | 23 |
| 0 425 42 | 67 | 4 | 0,91 | 5,3 | 420 | 390 | 310 | 400 | 86 | 9 | 27 |
| 0 425 43 | 67 | 3,7 | 0,92 | 5,6 | 420 | 390 | 310 | 400 | 86 | 9 | 35 |
| 0 425 44 | 111 | 2,4 | 0,94 | 3,7 | 420 | 390 | 310 | 400 | 126 | 9 | 50 |

400 V Δ / 400 V Y + N (triphasés)

| Réf. | Pertes à vide (W) | Chute de tension (%) cos φ 0,8 | Rendement cos φ 0,8 | Ucc (%) | Dimensions (mm) | | | Fixation (mm) | | | Poids (kg) |
|----------|-------------------|--------------------------------|---------------------|---------|-----------------|-----|-----|---------------|-----|---|------------|
| | | | | | A | B | C | F | G | Ø | |
| 0 428 20 | 37 | 2,9 | 0,9 | 3 | 240 | 270 | 190 | 220 | 90 | 7 | 15 |
| 0 428 21 | 43 | 2,6 | 0,93 | 2 | 370 | 330 | 190 | 350 | 69 | 9 | 25 |
| 0 428 22 | 67 | 2,3 | 0,93 | 2,3 | 420 | 390 | 310 | 400 | 86 | 9 | 31 |
| 0 428 23 | 87 | 2,4 | 0,93 | 3,1 | 420 | 390 | 310 | 400 | 86 | 9 | 38 |
| 0 428 24 | 111 | 2,5 | 0,94 | 5,6 | 420 | 390 | 310 | 400 | 126 | 9 | 58 |

Caractéristiques

Monophasés

Tensions d'isolement :

- entre enroulement : 3550 V
- entre primaire et masse : 1770 V
- entre secondaire et masse : 1770 V

Classe I

Isolant : classe B pour le 2500 VA, température ambiante 25 °C
classe H à partir de 4 kVA, température ambiante 25 °C

IP 21 - IK 08 (sous cuve)

Triphasés

Tensions d'isolement :

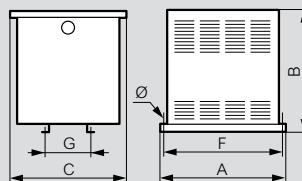
- entre enroulement : 4450 V
- entre primaire et masse : 2250 V
- entre secondaire et masse : 1770 V

Classe I

Isolants : classe H à partir de 4 kVA, température ambiante 25 °C

IP 21 - IK 08 (en cuve)

Réf. 0 425 71 à 76 et 0 425 81 à 85



230 V / 230 V point milieu sorti (monophasés)

| Réf. | Pertes à vide (W) | Chute de tension (%) | | Bornes | | Rendement | | Ucc (%) | Dimensions (mm) | | | Fixation (mm) | | | Poids (kg) |
|----------|-------------------|----------------------|------------|----------|----------|-----------|------------|---------|-----------------|-----|-----|---------------|-----|---|------------|
| | | cos φ 1 | cos φ 0,45 | Pri. mm² | Sec. mm² | cos φ 1 | cos φ 0,45 | | A | B | C | F | G | Ø | |
| 0 425 71 | 25,6 | 2,4 | 1,1 | 16 | 16 | 0,97 | 0,93 | 2,6 | 320 | 330 | 253 | 300 | 111 | 9 | 36 |
| 0 425 72 | 50,6 | 3,7 | 1,7 | 16 | 16 | 0,95 | 0,90 | 2,9 | 340 | 410 | 370 | 320 | 120 | 9 | 52 |
| 0 425 74 | 67,7 | 3,2 | 1,5 | 35 | 35 | 0,96 | 0,91 | 2,8 | 340 | 410 | 370 | 320 | 150 | 9 | 68 |
| 0 425 75 | 85,7 | 2,8 | 1,3 | 35 | 35 | 0,96 | 0,92 | 2,9 | 340 | 410 | 370 | 320 | 180 | 9 | 77 |
| 0 425 76 | 94,5 | 3,2 | 1,5 | 35 | 35 | 0,96 | 0,91 | 2,5 | 340 | 410 | 370 | 320 | 180 | 9 | 78 |

400 V Y + N / 230 V Y + N (triphasés)

| Réf. | Pertes à vide (W) | Chute de tension (%) | | Bornes | | Rendement | | Ucc (%) | Dimensions (mm) | | | Fixation (mm) | | | Poids (kg) |
|----------|-------------------|----------------------|------------|----------|----------|-----------|------------|---------|-----------------|-----|-----|---------------|-----|---|------------|
| | | cos φ 1 | cos φ 0,45 | Pri. mm² | Sec. mm² | cos φ 1 | cos φ 0,45 | | A | B | C | F | G | Ø | |
| 0 425 81 | 40,7 | 3,2 | 1,5 | 10 | 10 | 0,96 | 0,92 | 2,9 | 420 | 270 | 190 | 400 | 126 | 9 | 55 |
| 0 425 83 | 76,2 | 3,7 | 1,7 | 10 | 16 | 0,95 | 0,90 | 2,8 | 470 | 410 | 340 | 450 | 126 | 9 | 79 |
| 0 425 84 | 96,1 | 3,5 | 1,6 | 16 | 35 | 0,95 | 0,90 | 2,8 | 470 | 410 | 340 | 450 | 176 | 9 | 106 |
| 0 425 85 | 124 | 3,7 | 1,7 | 16 | 35 | 0,95 | 0,90 | 2,9 | 470 | 410 | 340 | 450 | 176 | 9 | 107 |